

II - 7.2 土砂による高濃度渦流の特性について

神戸大学 正員 松梨順三郎
○神戸市役所 藤岡 洋

要旨 表題の研究については、昨年の毎次講演会での一部を発表した。その二引続て実験的研究を進めながら、二二では、その二「なみかわ在研究の概要と実験結果に関する若干の考察について述べる。

研究の概要 土砂による高濃度渦流の管内流れに関する流動特性を一般的に、

$$(1-\alpha)g = -\mu(dU/dr) \quad (1)$$

とすると、流速 U 、平均流速 U_m 及び栓部の流速 U_c はそれぞれ、

$$U = (k_w T_g^n / \mu) \cdot \{(1-\alpha)^{n+1} (R-a)^{n+1}\} / \{a^n (n+1)\}, \quad (2)$$

$$U_c = (k_w T_g^n / \mu) \cdot \beta = (k_w T_g^n / \mu) \{ (1-\alpha)^{n+1} \} / \{ a^n (n+1) \}, \quad (3)$$

$$U_m = \frac{k_w T_g^n}{\mu} \cdot \alpha = \frac{k_w T_g^n}{\mu} \cdot \frac{(1-\alpha)^{n+1}}{a^n (n+1)} \left\{ 1 - \frac{2(1-\alpha)}{n+2} + \frac{2(1-\alpha)^2}{(n+2)(n+3)} \right\}. \quad (4)$$

たゞし、 $T_g/T_w = T_g/\tau_w = 0$ 、 $R/\tau_w = R$ であり、 T_g 、 τ_w はそれが降伏点及び管の壁面におけるせん断応力であり、 T_g 、 τ_w はそれと T_g 、 τ_w に対応する半径である。また渦流の摩擦粘度 μ_a は、

$$\mu_a = (D^3 / 16 a U_m) (U_m M / \alpha)^{\frac{1}{n}} (2/D)^{\frac{n+1}{n}} \quad (5)$$

で与えられる。つまに二の流体の構造粘性指數 M 、降伏点におけるせん断応力 T_g 、粘性係數 μ を実験値から求めることを述べよう。流量 Q_1 、 Q_2 に対する 4ℓ 区間の圧力降下及び栓部の速度をそれぞれ ΔP_1 、 ΔP_2 及び U_{c1} 、 U_{c2} とする、

$$(\Delta P_1 / 4\ell) / (\Delta P_2 / 4\ell) = (2T_g / \tau_{g1}) / (2T_g / \tau_{g2}) = T_g / \tau_{g1} = (T_g / \tau_w) / (\tau_{g1} / \tau_w) = \alpha_2 / \alpha_1, \quad (6)$$

$$Q_1 / Q_2 = (\pi k_w^3 T_g^n d_1 / \mu) / (\pi k_w^3 T_g^n d_2 / \mu) = \alpha_1 / \alpha_2, \quad (7)$$

$$U_{c1} / U_{c2} = (k_w T_g^n \beta_1 / \mu) / (k_w T_g^n \beta_2 / \mu) = \beta_1 / \beta_2, \quad (8)$$

である。 (6) 、 (7) 、 (8) 式に示された比の値は実験値によつて与えられる。 $\alpha_1 = 4\ell S$ とすると $\alpha_2 = f \alpha_1$ 、 f 、 i とおくと、 $\alpha_2 = c \alpha_1$ 、 $\alpha_1 = f \alpha_2$ 、 $\beta_1 = i \beta_2$ となる。 $\therefore L = \alpha_1$ 、 β_1 はともに n 、 α_1 のみの関数であり、 α_2 、 β_2 はともに n 、 α_2 のみの関数である。 $\therefore L = \alpha_1$ 三式より α_2 を消去すると、

$$f/i = \{(n+2)(n+3) - 2(1-\alpha_1)(n+3) + 2(1-\alpha_1)^2\} / \{(n+2)(n+3) - 2(1-e\alpha_1)(n+3) + 2(1-e\alpha_1)^2\} \quad (9)$$

$$L = e^n \{(1-\alpha_1) / (1-e\alpha_1)\}^{n+1} \quad (10)$$

をうる。 (9) 、 (10) 式はともに α_1 と n との関係をあらわす方程式であるが、解析的な解をうるには困難であるから、二二では図解法によつて、これらを解くことにした。 n 、 α_1 が求められると、 T_g 、 μ は、

$$T_g = (1/2) (4P_1 / 4\ell) \cdot k_w \alpha_1 \quad (11)$$

$$\mu = \frac{\pi k_w^3 T_g^n \cdot (1-\alpha_1)^{n+1}}{Q_1 \cdot a^n (n+1)} \left\{ 1 - \frac{2(1-\alpha_1)}{n+2} + \frac{2(1-\alpha_1)^2}{(n+2)(n+3)} \right\} \quad (12)$$

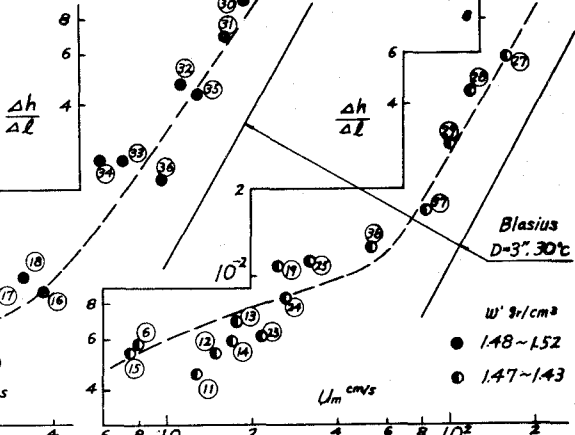
でえられる。以上によつて渦流の流動特性を規定する諸常数 n , C_y , M は局流状態における二組の実験値 $\{\Delta P/\Delta l = w'(\Delta h/\Delta l), U_c, U_m\}_{1,2}$ を測定すればよしとするから。 $\Delta h/\Delta l$ は差圧計、 U_c , U_m は塩水濃度法を用いた。塩水濃度法で、両電極の記録が図-(4)のようにならう。

とす。おのおのの波形の先端が現われるに要する時間、すなわち柱部が両電極間を通過するに要する時間 t_m と、おのおのの波形面積の重心が現われるに要する時間 t_h を測定す。

$U_c = \Delta l/t_m$, $U_m = \Delta l/t_h$

図-(2)

$\Delta h/\Delta l$ と U_m の関係
 $D=3''$



実験結果の考察

渦流の製作に用いた土粒子は $d_{50} = 3.7 \times 10^{-2} \text{ mm}$ である。単位重量 w' = 1.45, 1.50 の場合の実験結果を示すと、それが図-(2), (3)のようになる。測定の番号は、同じ w' の両図の

測定において、同一の $\Delta h/\Delta l$ に対する U_c , U_m の対応をあらわす。これらの資料を基礎にし、局流と考えられる二組の資料から Q を計算するとき次表のようになると。この値は 0.7~0.27 となり、かなり散乱してある。二組の計算結果によると、 C_y =

$2.2 \sim 6.2 \text{ dyne/cm}^2$, $M = 0.022 \sim 0.072 (\text{C.G.S.})$ であり、 $M = 0.4 \sim 0.9 (\text{C.G.S.})$ である。おおむね $U_m = 5 \sim 20 \text{ cm/s}$ である。之より w' をもつ渦流の力を最終的に決定するには、25 以上の多數の正確な実験値、及び他の測定方法に 3 検証が必要であるように思われる。

図-(1)

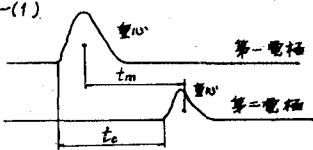
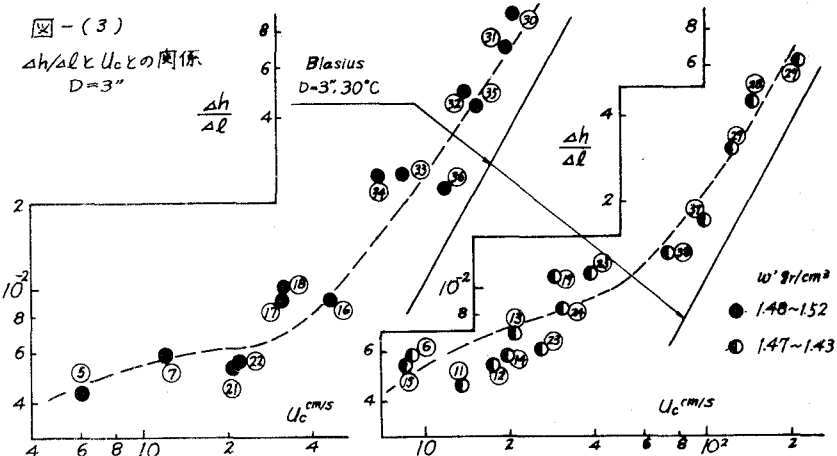


図-(3)

$\Delta h/\Delta l$ と U_c の関係
 $D=3''$



| w' | n | n | | | a | a |
|------|------|-----|-----|-----|------|------|
| | | 比 | 較 | 重 | | |
| 1.45 | 2.34 | (6) | (3) | (6) | 0.27 | 0.18 |
| | 1.81 | (6) | (5) | (6) | 0.55 | 0.46 |
| | 2.44 | (5) | (3) | (4) | 0.17 | 0.11 |
| | 2.66 | (4) | (3) | (5) | 0.26 | 0.21 |
| | 0.73 | (7) | (4) | (7) | 0.70 | 0.44 |
| | 0.65 | (5) | (6) | (5) | 0.55 | 0.27 |
| 1.50 | 2.05 | (5) | (3) | (5) | 0.72 | 0.62 |
| | 0.90 | (5) | (7) | (5) | 0.55 | 0.26 |
| | 1.84 | (5) | (7) | (5) | 0.26 | 0.20 |